

Cu₂O@HKUST-1 核壳结构材料的制备及其抗氧化性能

寇博宇 陈超* 池佳 陈恒泽 张宁*

(南昌大学应用化学研究所, 南昌 330031)

摘要: 以球状纳米 Cu₂O 为核心, 直接牺牲其表面的部分 Cu₂O, 与溶液中的均苯三羧酸(H₃BTC)配体反应, 原位生成具有核壳结构的 Cu₂O@HKUST-1 材料。采用 O₂ 程序升温脱附(O₂-TPD)、H₂ 程序升温还原(H₂-TPR)及 CO 氧化反应对 Cu₂O@HKUST-1 核壳材料的抗氧化能力进行了研究, 证明金属-有机框架材料(MOFs) HKUST-1 对反应气体起到富集、缓释作用, 保护 Cu₂O 核不被氧化, 显著提高了其抗氧化能力。

关键词: HKUST-1; Cu₂O; 核壳结构; 抗氧化

中图分类号: O614.121

文献标识码: A

文章编号: 1001-4861(2016)07-1149-05

DOI: 10.11862/CJIC.2016.148

Cu₂O@HKUST-1 Core-Shell Structure Materials: Preparation and Antioxidant Capacity

KOU Bo-Yu CHEN Chao* CHI Jia CHEN Heng-Ze ZHANG Ning*

(Institute of Applied Chemistry, Nanchang University, Nanchang 330031, China)

Abstract: Spherical nanometer Cu₂O was employed as the core with partial of whose Cu₂O on surface sacrificing, which reacted with benzene-1,3,5-tricarboxylic acid (H₃BTC) ligand in solution, forming the product of Cu₂O@HKUST-1 with core-shell structure in situ. The antioxidant ability of core-shell-structure Cu₂O@HKUST-1 was investigated by O₂ temperature programmed desorption (O₂-TPD), H₂ temperature programmed reduction (H₂-TPR) and CO oxidation reaction. The result shows that the Cu₂O antioxidant ability is significantly increased. The metal-organic frameworks (MOFs) HKUST-1 could protect Cu₂O from oxidation because of its enrichment and slow-release of reacting gas.

Keywords: HKUST-1; Cu₂O; core-shell; antioxidant capacity

近年来, 核壳(core-shell)材料的合成及应用成为材料领域的研究热点之一^[1-5]。其中, 以无机纳米粒子(NPs)为核, 金属-有机骨架化合物(MOFs)为壳的 NP@MOF 核壳材料更是得到了人们的极大关注。它既保持了无机纳米粒子和 MOFs 两种材料各自的优良性能, 同时还有效的克服单一材料的缺陷, 在应用中具有独特的优势^[6-7]。例如, MOF-5 是良好的 CO₂ 吸附材料, 而纳米 Au 颗粒具有光学传感作用, 以它们为基础制备的 Au@MOF-5 核壳材料在

混合气体(CO₂, N₂, CO, CO₂)中表现出对 CO₂ 显著的表面增强拉曼散射效应, 可应用于 CO₂ 传感等领域^[8]; 利用 MOFs 的孔道对反应分子的筛选作用, Ag/Ni@MOF 可用来催化甲醛与乙二胺、苯乙炔三组分偶联反应, 而对于体积较大的苯甲醛或异丁醛等底物却得不到任何反应产物^[9]。相对于大量的纳米金属 @MOF 核壳材料研究, 另一类重要的无机纳米离子-纳米金属氧化物与 MOFs 形成的核壳材料报道较少, 主要集中在以 Fe₃O₄ 为核, 在其外层包裹

收稿日期: 2016-03-23。收修改稿日期: 2016-04-16。

国家自然科学基金(No.21561020, 21261017)、江西省自然科学基金(No.20122BAB213003, 20132BAB203009, 20132BAB213004, 20133ACB20001)和江西省教育厅自然科学基金(No.GJJ11012)资助项目。

*通信联系人。E-mail: chaochen@ncu.edu.cn, nzhang.ncu@163.com; 会员登记号: S06N2501M1407。

HKUST-1、MIL-101(Fe)或ZIF-8等MOFs壳层,应用在磁性、催化及药物缓释等领域^[10-11]。因此,拓展纳米金属氧化物@MOFs核壳材料的种类、开发其新的用途是值得关注的研究方向。

Cu_2O 是一种性能优异的p型半导体材料,具有特殊的电子、光学及磁学性质,在催化、光电转换等领域拥有广阔的应用前景^[12-16]。但是,纳米级 Cu_2O 具有较高的表面能,在空气中极易被氧化成 CuO ,这限制了纳米 Cu_2O 的应用。因此,本文合成了一种新型的核壳材料 $\text{Cu}_2\text{O}@\text{HKUST-1}$ 。以HKUST-1^[18]这种经典的MOFs为壳,在保留 Cu_2O 性能的同时提高其抗氧化稳定性,并以CO氧化为探针反应评估了 Cu_2O 被HKUST-1包裹前后的耐氧化能力。

1 实验部分

1.1 试剂与仪器

试剂:六水硝酸铜(AR)、无水乙醇(纯度≥99%)、一缩二乙二醇(纯度≥99%)、苯甲醇(纯度≥99%)、D-(+)-葡萄糖(分析标准品)、一水醋酸铜(纯度≥99%)、PVP-55000、苯甲醇(AR)、均苯三羧酸(H_3BTC ,AR)、一氧化碳(1%体积分数,下同)和氧气(1%)、氮气(98%)的混合气体。

实验仪器:JEM-2100透射电子显微镜(TEM,日本JEOL公司),点分辨率:0.19 nm;线分辨率:0.14 nm;加速电压:200 kV;倾斜角:25°;EDS:13;最小束斑尺寸:0.5 nm。FEI Quanta 200F环境扫描电子显微镜,高真空(30 kV)、低真空(3 kV),加速电压20 kV。ASAP-2020物理化学吸附仪(BET,美国麦克公司),脱气处理10 °C·min⁻¹,由30 °C升至140 °C,保持12 h,以高纯氮作为吸附质,BET的计算方法采用Brunauer-Emmett-Teller法。Micromeritics Auto Chem-2920程序升温脱附仪(TPD,TPR,美国麦克公司):O₂-TPD用He气进行预处理(150 °C,30 min),降温至50 °C之后切换成高纯氧,进行吸附60 min,然后惰性气体He吹扫30 min,最后程序升温脱附(10 °C·min⁻¹,升温至600 °C);H₂-TPR用Ar气进行预处理(150 °C,30 min),降温至50 °C之后切换成10% H₂-Ar混合气,吹扫10 min走基线,最后程序升温还原(10 °C·min⁻¹,升温至300 °C)。XD-3型粉末X射线衍射仪(PXRD,北京普析通用公司),以Cu K α 为辐射源, $\lambda=0.154\ 06\ \text{nm}$,工作电压为40 kV,电流30 mA,扫描范围(2θ)为4°~90°,扫描速度2°·min⁻¹。Q600同步热分析仪(TGA,美国TA公司),N₂氛围,升温速率

为10 °C·min⁻¹。使用天美7890气相色谱进行CO分析,色谱柱为:TDX-01,进样口温度为100 °C,柱温箱温度为60 °C,检测器温度为110 °C,电流为80 mA。C、H、N元素含量测试在德国Elementar公司的Vario EL-3型有机元素分析仪上完成。

1.2 核壳结构的合成

1.2.1 Cu_2O 的合成

将Cu(OAc)₂·H₂O(3 mmol,0.598 g)加入到3 mL一缩二乙二醇中,超声分散;葡萄糖(6.6 mmol,1.321 g)溶于3 mL一缩二乙二醇中,超声分散;将PVP-55000(1.5 mmol,1.665 g)作为稳定剂溶于25 mL的一缩二乙二醇,超声分散;将PVP-55000一缩二乙二醇溶液置于110 °C油浴锅内恒温搅拌30 min,至PVP-55000完全溶解,溶液呈透明状。将所配的醋酸铜一缩二乙二醇溶液和葡萄糖一缩二乙二醇溶液同时加入到此溶液中,恒温搅拌反应1 h后,自然降至室温。最终得到溶液呈咖啡色,离心后得到产物,用2倍溶液体积的无水乙醇洗涤3次。将最后的产品放进50 °C的恒温烘箱,干燥后得到黄褐色固体粉末。

1.2.2 $\text{Cu}_2\text{O}@\text{HKUST-1}$ 的合成

将 Cu_2O (0.5 mmol,0.071 5 g)溶于40 mL苯甲醇中,超声分散;将 H_3BTC (0.67 mmol,0.140 7 g)溶于乙醇中,超声分散;将 Cu_2O 苯甲醇溶液置于80 °C的油浴锅中,恒温搅拌5 min,再将 H_3BTC 的乙醇溶液倒入氧化亚铜的苯甲醇溶液中搅拌反应2.5 h。最终得到墨绿色溶液。产物离心,用80 mL的无水乙醇洗涤3次,放置于50 °C烘箱烘干,干燥后得到墨绿色固体粉末。

1.3 CO的氧化

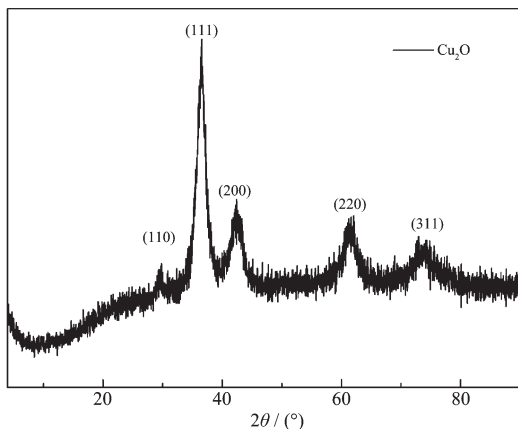
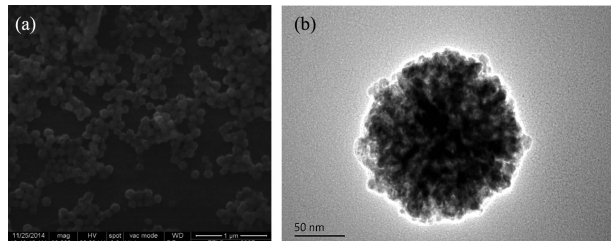
样品性能评估反应为催化CO氧化反应。在CO的微型连续反应过程中,用气相色谱在线检测反应过程中反应物CO的含量变化。具体方案为:将CO(1%),O₂(1%),N₂(98%)的混合气体以流速为18 mL·min⁻¹通入装有 $\text{Cu}_2\text{O}@\text{HKUST-1}$ (Cu_2O 含量为0.06 g)催化剂的石英反应管。考察不同反应温度的反应效果和同一温度不同时间的反应效果。并以 Cu_2O (0.06 g)作为对比,进行催化CO氧化反应。

2 结果与讨论

2.1 纳米 Cu_2O 的合成及表征

采用溶剂热法,以PVP-55000作稳定剂,葡萄糖为还原剂,Cu(OAc)₂为铜源,得到了产率为99%

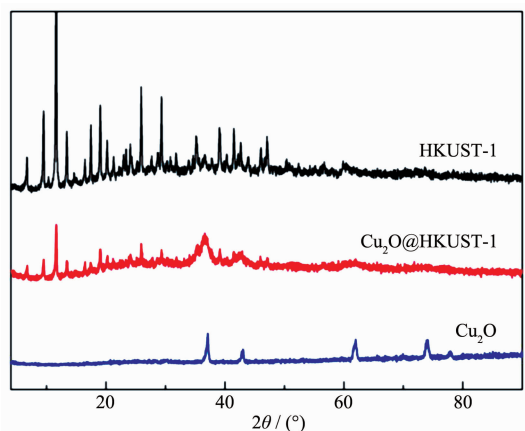
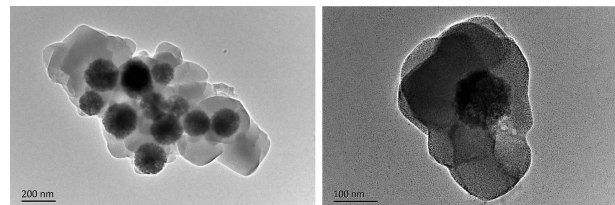
(基于 Cu 源)的纳米 Cu₂O。图 1 是产物的 PXRD 图, 各衍射峰指标为 $2\theta=29.8^\circ, 36.8^\circ, 42.6^\circ, 61.5^\circ$ 和 73.0° , 分别对应 Cu₂O 的 (110)、(111)、(200)、(220) 和 (311) 晶面, 没有其它杂峰出现, 说明合成的 Cu₂O 纯度较高。图 2(a) 扫描电镜(SEM)照片显示 Cu₂O 为球状、直径尺寸为 100~200 nm, 图 2(b) 中透射电镜(TEM)照片进一步显示 Cu₂O 结构疏松, 应具有较大的表面积和反应活性。

图 1 纳米 Cu₂O 的 X 射线衍射图Fig.1 Powder XRD pattern of Cu₂O图 2 纳米 Cu₂O 的扫描 (a) 和透射 (b) 电镜图Fig.2 SEM (a) and TEM (b) images of Cu₂O

2.2 Cu₂O@HKUST-1 核壳材料的合成及表征

本文采用的合成方法是以纳米 Cu₂O 为铜源, 直接牺牲其表面的部分铜离子, 与溶液中的 H₃BTC 配体反应, 原位生成具有核壳结构的 Cu₂O@HKUST-1。这种方法简单高效, 不引入其它杂质, 是一种较好的合成核壳材料的方法。如图 3 所示, 将 HKUST-1 的特征峰和 Cu₂O 的特征峰与 Cu₂O@HKUST-1 核壳结构 PXRD 图作对比, 可知所合成的 Cu₂O@HKUST-1 核壳结构材料的 PXRD 图为 HKUST-1 和 Cu₂O 图的叠加, 初步证明合成了含有 Cu₂O 和 HKUST-1 相结合的材料。

TEM 图(图 4)显示, 在纳米 Cu₂O 球体外层包裹着一层形状不太规则的 HKUST-1 壳层, 壳层相对

图 3 纳米 Cu₂O、1,3,5-H₃BTC 和 Cu₂O@HKUST-1 的 XRD 图Fig.3 Powder XRD patterns of Cu₂O, 1,3,5-H₃BTC and Cu₂O@HKUST-1图 4 Cu₂O@HKUST-1 的透射电镜图Fig.4 TEM images of Cu₂O@HKUST-1

紧密, 证明确实形成了 Cu₂O@MOFs 核壳结构。 N_2 物理吸附显示 Cu₂O@HKUST-1 的 BET 表面积为 $190 \text{ m}^2 \cdot \text{g}^{-1}$, 介于 Cu₂O($61 \text{ m}^2 \cdot \text{g}^{-1}$)与 HKUST-1($1340 \text{ m}^2 \cdot \text{g}^{-1}$)之间, 可判断 Cu₂O@HKUST-1 是具有孔道结构的复合型材料, 且具有对气体的富集能力。

依据 Cu₂O@HKUST-1 和 HKUST-1 两种材料当中碳元素的含量(表 1), 可知核壳结构材料 Cu₂O@HKUST-1 当中 HKUST-1 的含量为 46.1%, 氧化亚铜含量为 53.9%。

表 1 Cu₂O@HKUST-1、HKUST-1 的 C、H 和 N 含量Table 1 C, H and N content of Cu₂O@HKUST-1 and HKUST-1

Sample	$w_N / \%$	$w_C / \%$	$w_H / \%$
HKUST-1	0.25	26.34	4.88
Cu ₂ O@HKUST-1	0.21	12.14	1.68

图 5 所显示的为 HKUST-1 和 Cu₂O@HKUST-1 在氮气氛围下测定的热重曲线。2 种物质表现出相似的热失重过程。HKUST-1 的热重图说明: 23~355 °C 温度范围内失重为 43.5%, 是孔道中客体水分子的失去; 355 °C 以后, 骨架开始坍塌。Cu₂O@HKUST-

的热重图说明:23~320 °C温度范围内失重为32.4%,是孔道中水分子的失去;320 °C以后,骨架开始坍塌。结果说明 Cu₂O@HKUST-1 和 HKUST-1 在300 °C以前热稳定性良好。

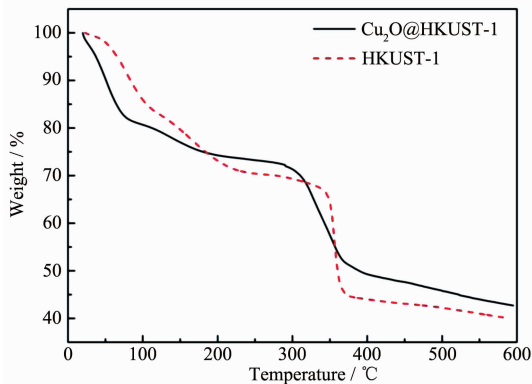


图5 Cu₂O@HKUST-1 和 HKUST-1 的热重曲线
Fig.5 TGA curves of Cu₂O@HKUST-1 and HKUST-1

2.3 Cu₂O@HKUST-1 的抗氧化能力评估

Cu₂O 具有良好的催化性能,但是,纳米级 Cu₂O 较高的表面能使其在氧气氛中极易被氧化成 CuO,限制了纳米 Cu₂O 的催化应用。因此,我们合成了 Cu₂O@HKUST-1 核壳结构,希望利用 HKUST-1 对反应气体的富集、缓释作用,保护 Cu₂O 不被氧化,并以 O₂ 程序升温脱附 (O₂-TPD)、H₂ 程序升温吸附 (H₂-TPR) 及 CO 氧化反应检测评估其抗氧化能力。

O₂-TPD(图6)显示 Cu₂O 和 Cu₂O@HKUST-1 两种催化剂的脱附峰位置一致,而 Cu₂O@HKUST-1 的脱附峰面积远大于 Cu₂O,说明核壳结构有更强的储放氧能力。HKUST-1 在 350 °C 左右有一尖锐的脱附峰,结合热失重分析,可能是在此温度下 HKUST-1 已开始部分塌陷,导致了大量气体的放出。

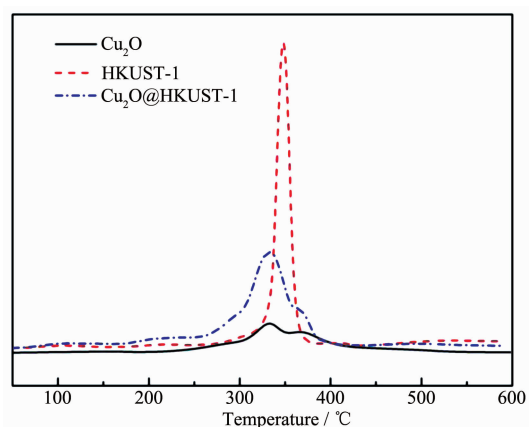


图6 三种材料的 O₂-TPD 对比图
Fig.6 O₂-TPD curves of three kinds of material

H₂-TPR(图7)显示, HKUST-1 的还原峰在 265 °C 左右,Cu₂O 的还原峰在 254 °C 左右,Cu₂O@HKUST-1 的还原峰在 227 °C 左右,相比 Cu₂O 和 HKUST-1,Cu₂O@HKUST-1 的还原峰要更靠前,说明这种核壳结构材料抗氧化性能要优于前 2 种材料。

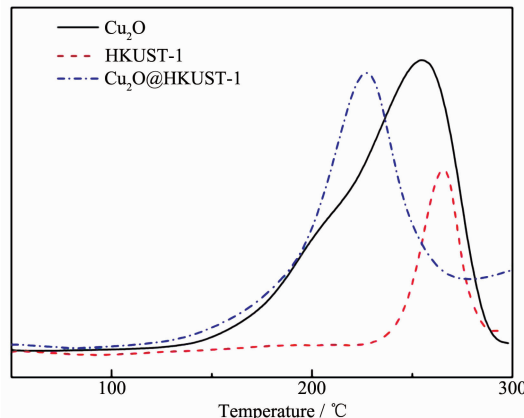


图7 三种材料的 H₂-TPR 对比图

Fig.7 H₂-TPR curves of three kinds of material

图8 为核壳结构 Cu₂O@HKUST-1 和 Cu₂O 分别作为催化剂时,CO 转化率与反应温度的关系曲线。2 种催化剂在 120 °C 之下,催化活性都很低。Cu₂O 在 160 °C 之后,CO 的转化率突然升高,这是因为 Cu₂O 在此温度下原位生成 Cu₂O 和 CuO 的共存相,从而提高了反应效率^[18]。而核壳材料 Cu₂O@HKUST-1,在反应过程中 Cu₂O 受外壳 HKUST-1 保护,核壳材料 Cu₂O@HKUST-1 几乎未被氧化成 CuO,随着反应温度从 120 °C 升到 200 °C,CO 转化率依旧缓慢平稳的上升。通过反应后催化剂的 PXRD 表征(图9)可以证明,Cu₂O 当中生成了部分 CuO,而核壳结构材料中,并没有出现明显的 CuO 衍射峰。

此外,在 180 °C 的反应温度下考察了时间对核

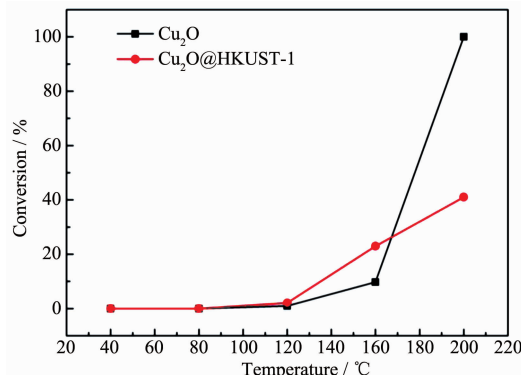


图8 CO 转化率随温度变化图

Fig.8 Temperature-conversion relation of oxidizing reaction of CO

壳材料催化剂的影响,如图10所示。在180 °C的反应温度下,Cu₂O在0~20 min催化CO的转化率由50%迅速升到100%,而核壳结构Cu₂O@HKUST-1在此催化反应过程中,所呈现的CO转化率并不高,反应60 min之内始终呈现出30%左右的转化率。

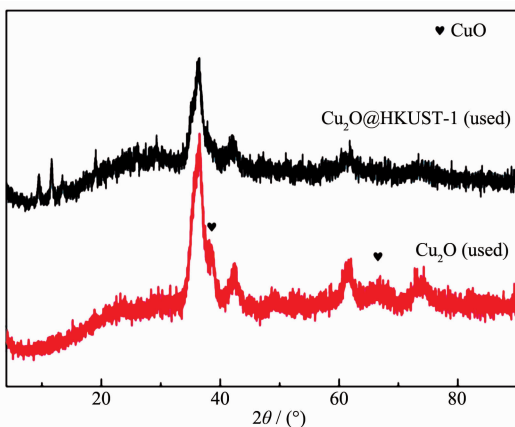


图9 Cu₂O 和 Cu₂O@HKUST-1 在 CO 氧化反应后 XRD 图

Fig.9 Powder XRD patterns of used Cu₂O and Cu₂O@HKUST-1 after oxidizing reaction of CO

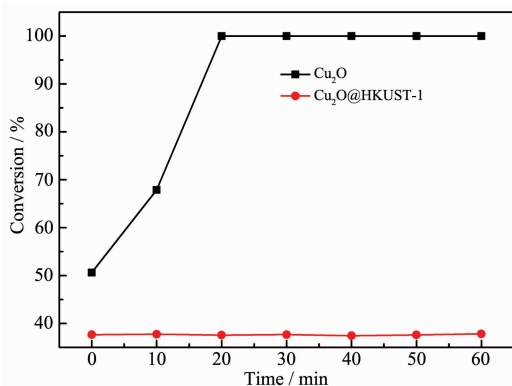


图10 CO 转化率随反应时间变化图 (180 °C)

Fig.10 Time-conversion relation of oxidizing reaction of CO (180 °C)

实验结果表明,球形纳米Cu₂O在此温度下与反应气中O₂反应,部分被氧化成CuO,所形成的Cu₂O和CuO的共存相提高了其催化CO反应的转化率。结合H₂-TPR,O₂-TPD表征结果,可知核壳结构Cu₂O@HKUST-1在催化CO反应时,由于外围HKUST-1对气体的吸附能力较强,使得吸附在HKUST-1表面的气体分子很难脱附出来,保护核心的Cu₂O不被氧化成CuO,故其催化CO转化率远低于纳米Cu₂O。

3 结 论

为防止纳米Cu₂O在化学反应过程中被氧化成CuO,设计并成功制备了核壳结构材料Cu₂O@HKUST-1,形成了外围由HKUST-1所组成的壳层,内层是纳米Cu₂O的核心。用CO催化氧化反应做为探针反应,结合材料的表征手法,证明了外层HKUST-1对内核纳米Cu₂O起到保护作用,可防止其被快速氧化。

参考文献:

- [1] Zlotea C, Cam R, Cuevas F, et al. *J. Am. Chem. Soc.*, **2010**, *132*(9):2991-2997
- [2] Meil M, Yusen K, Esken D, et al. *Eur. J. Inorg. Chem.*, **2010** (24):3701-3714
- [3] Sujik K, Furuka Y, Sada K, et al. *Chem. Mater.*, **2011**, *23*(13): 3132-3134
- [4] Gao X, Cui Y, Leveson R M, et al. *Nat. Biotechnol.*, **2004**, *22*(8):969-976
- [5] Wang J, Gudik M S, Duan X, et al. *Science*, **2001**, *293*(5534): 1455-1457
- [6] Hai L J, Qiang X. *Chem. Commun.*, **2011**, *47*(12):3351-3370
- [7] Ver S M, Miguel A, Cor D, et al. *Adv. Mater.*, **2007**, *19*(23): 4131-4144
- [8] He L, Liu Y, Liu J, et al. *Angew. Chem. Int. Ed.*, **2013**, *52*: 3741
- [9] Dhaksh A, Garcia H. *Chem. Soc. Rev.*, **2012**, *41*(15):5262-5284
- [10] Ke F, Yuan Y P, Qiu L G, et al. *J. Mater. Chem.*, **2011**, *21*: 3843
- [11] Ke F, Qiu L G, Yuan Y P, et al. *J. Mater. Chem.*, **2012**, *22*: 9497
- [12] Bordiga S, Pazé C, Berlier G, et al. *Catal. Today*, **2001**, *70*(1/2/3):91-105
- [13] Bohannan E W, Shumsky M G, Switzer J A. *Chem. Mater.*, **1999**, *11*(9):2289-2291
- [14] Switzer J A, Maune B M, Raub E R, et al. *J. Phys. Chem. B*, **1999**, *103*(3):395-398
- [15] Jongh P E D, Vanmaekelbergh D, Kelly J J, et al. *Chem. Commun.*, **1999**:1069-1070
- [16] Hara M, Hasei H, Yashima M, et al. *Appl. Catal. A: General*, **2000**, *190*(1/2):35-42
- [17] Schlichte K, Kratzke T, Kaskel S. *Microporous Mesoporous Mater.*, **2004**, *73*:81-88
- [18] Guo M Y, Liu F Z, Jenkin T, et al. *J. Mater. Chem. A*, **2015**, *3*:3627